



*Les suivis acoustiques de la migration nocturne des oiseaux permettent-ils de révéler des interactions entre les **grandes noctules** et les passereaux migrateurs ?*

*Stage de Master 1
mars - août 2023 · 20 semaines · encadrant : Yves Bas*

*Lucas ROGER
Master 2 Gestion de l'Environnement
et de la Biodiversité
Montpellier*



*Centre d'Écologie et des Sciences de la Conservation
UMR 7204 / CNRS · MNHN · Sorbonne Université
Paris*



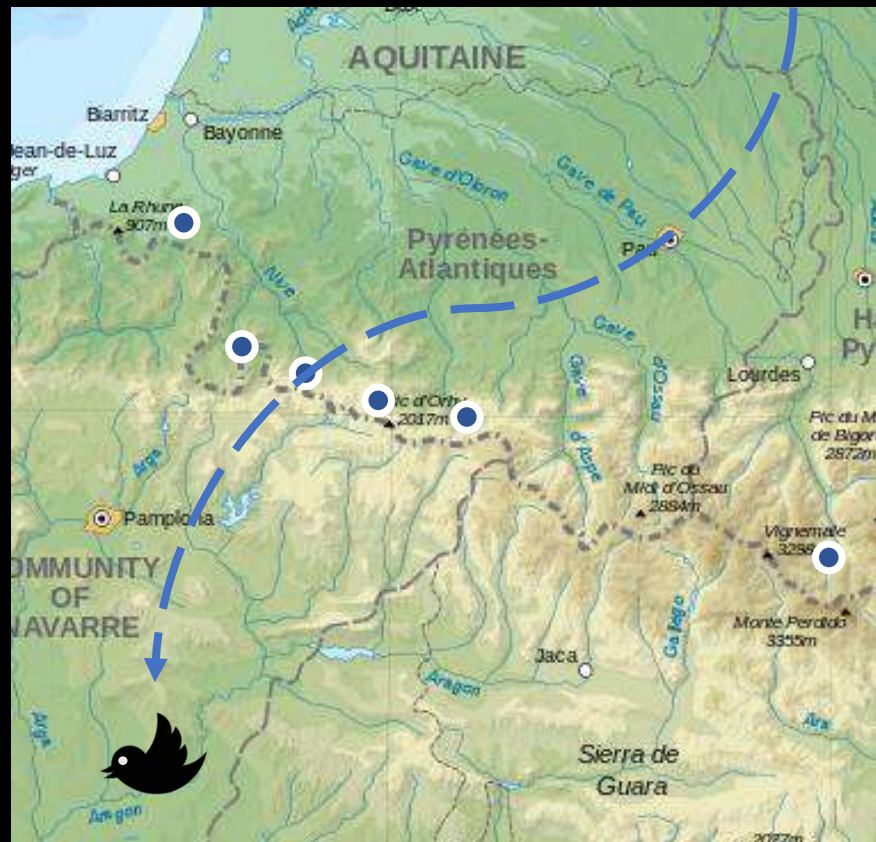
Deux protocoles : Vigie-Chiro et Vol de Nuit



→ tendances de population



Co-encadrants
Louis SALLÉ & Paul COIFFARD



→ stratégies de migration

Introduction | La grande noctule

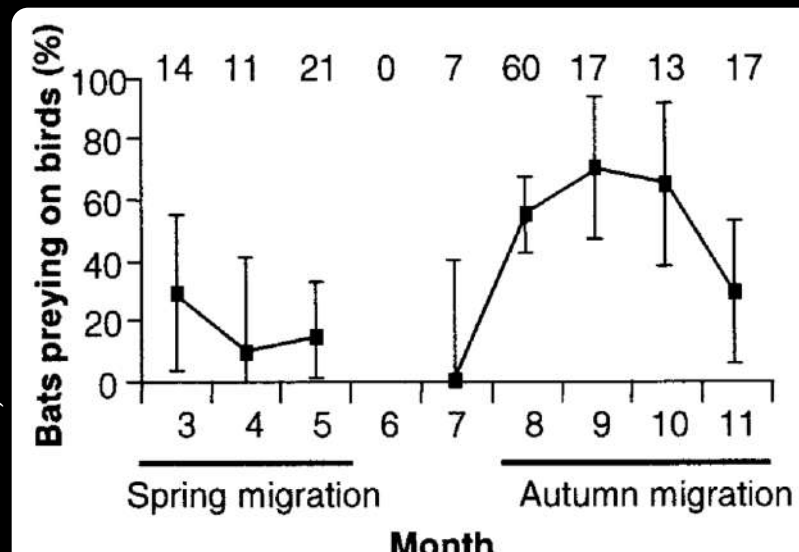
Menaces

· CR / Italie (2013)

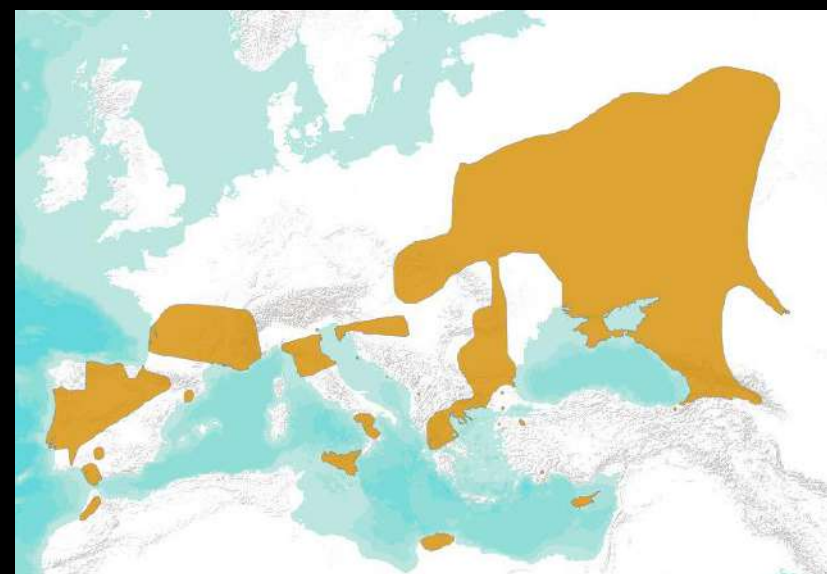
· VU / Monde (2016),
Espagne (2011), France (2017)



Ibáñez et al., 2001



Variation annuelle du pourcentage de grandes noctules capturées en Espagne présentant des plumes dans leur guano.



Distribution de la grande noctule (www.iucnredlist.org)

Introduction | La grande noctule



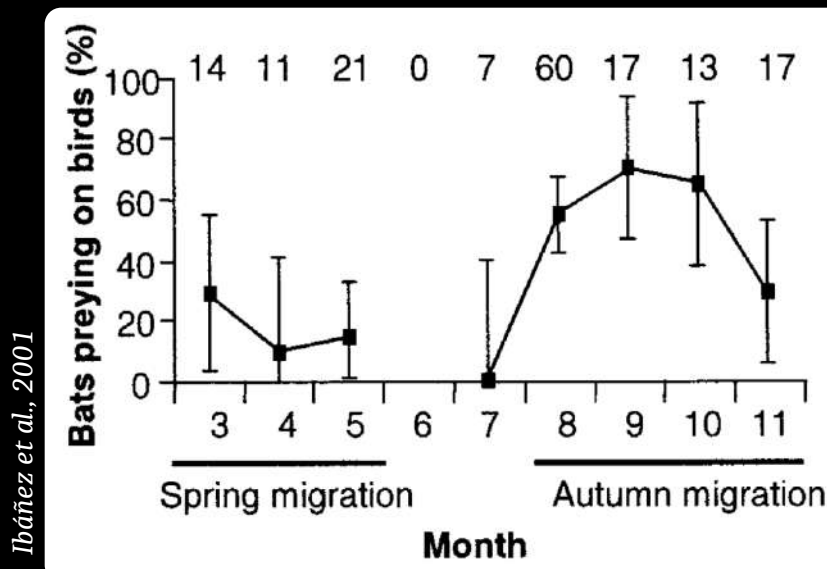
Menaces

- CR / Italie (2013)

- VU / Monde (2016),
Espagne (2011), France (2017)

Hypothèse

- Activité synchronisée avec l'intensité des passages d'oiseaux migrateurs
 - phénomène documenté chez certains chiroptères insectivores stricts (Charbonnier, 2014; Salvarina et al., 2018; Hawkes et al., 2023)

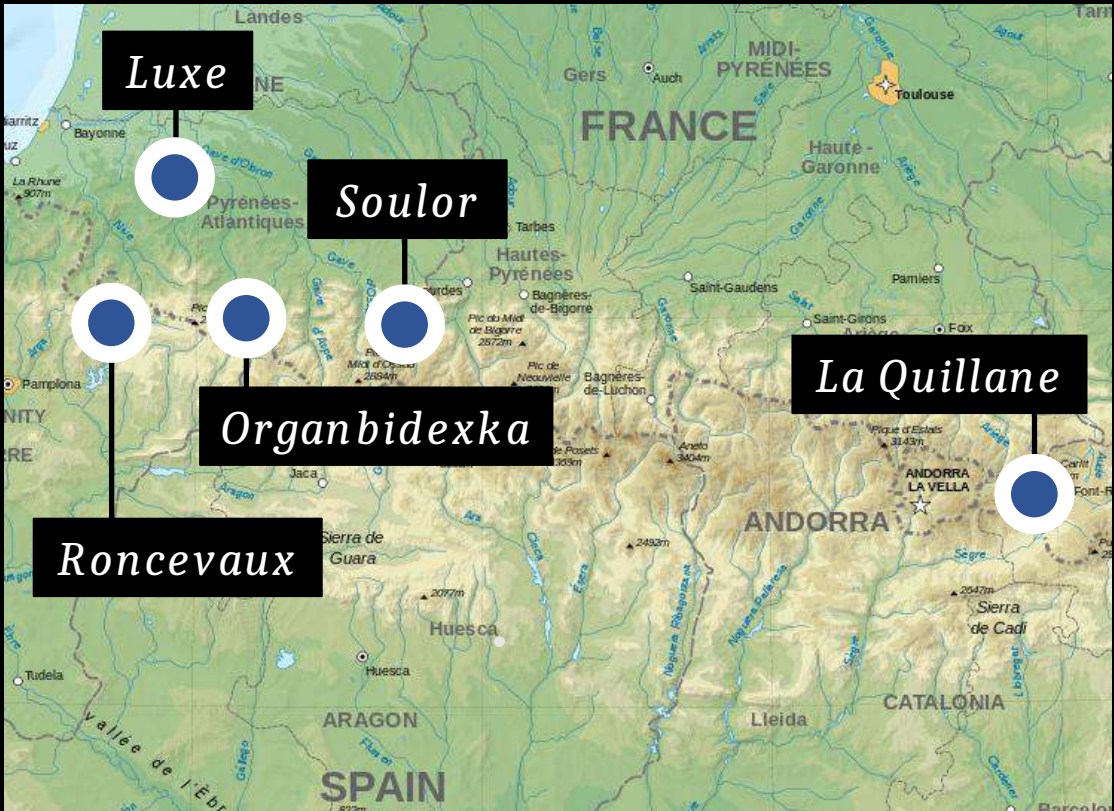


Variation annuelle du pourcentage de grandes noctules capturées en Espagne présentant des plumes dans leur guano.

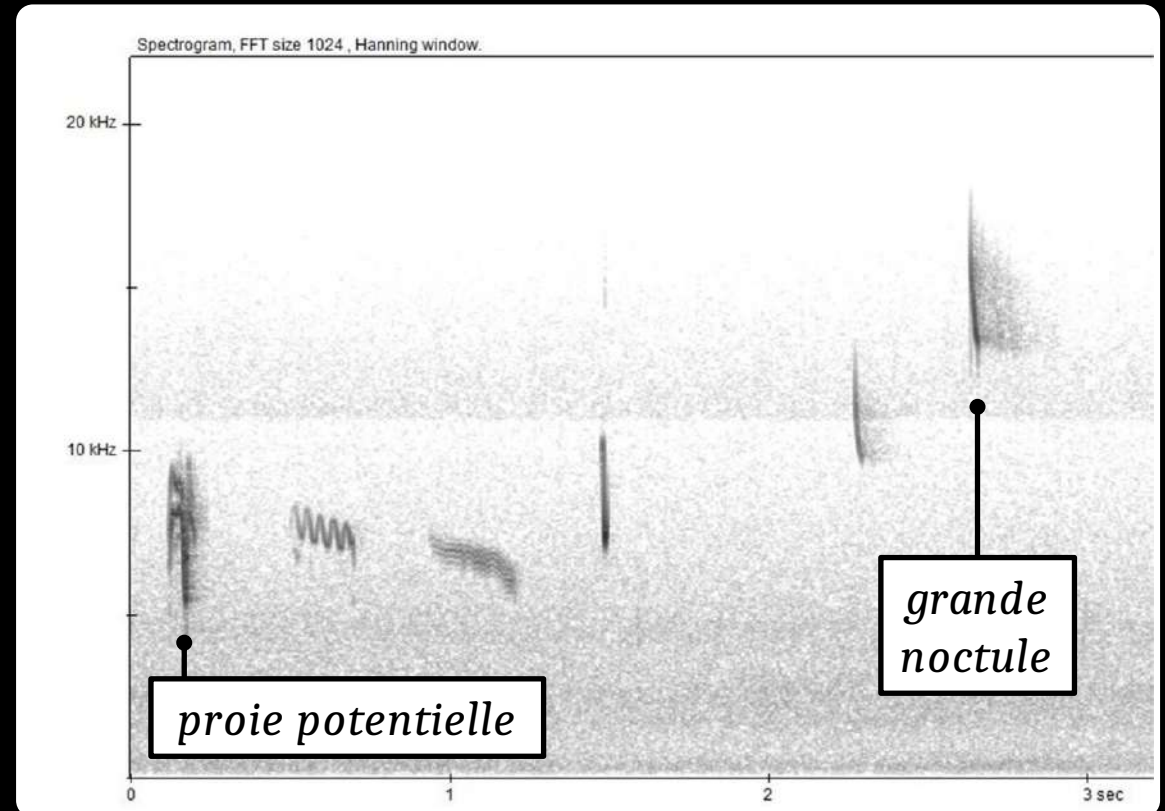


Distribution de la grande noctule (www.iucnredlist.org)

Méthodes | Travaux préliminaires

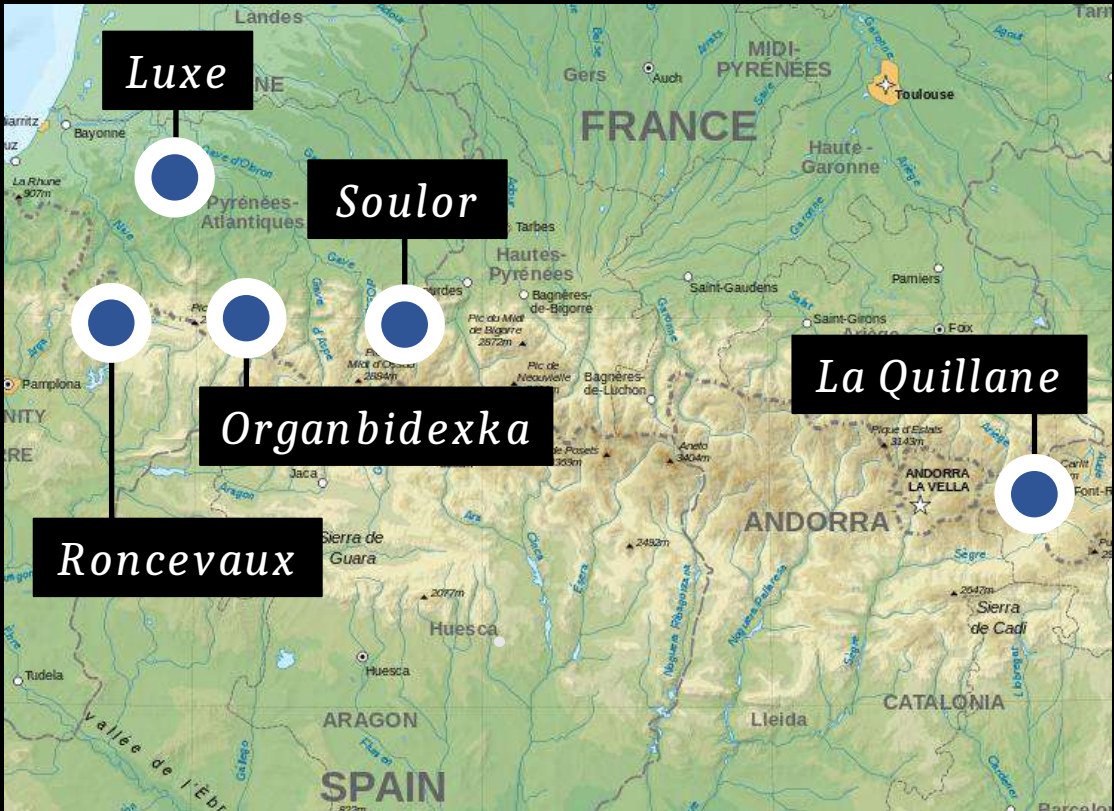


Sites suivis

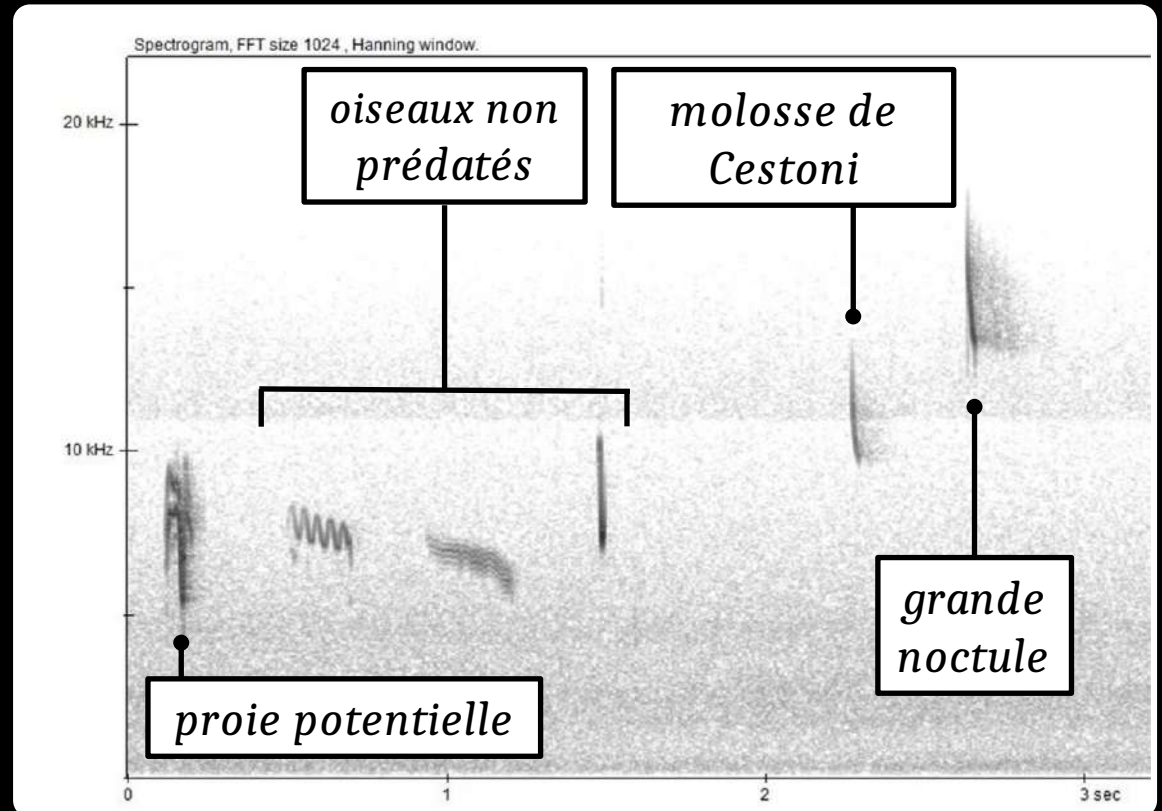


Groupes fonctionnels enregistrés

Méthodes | Travaux préliminaires

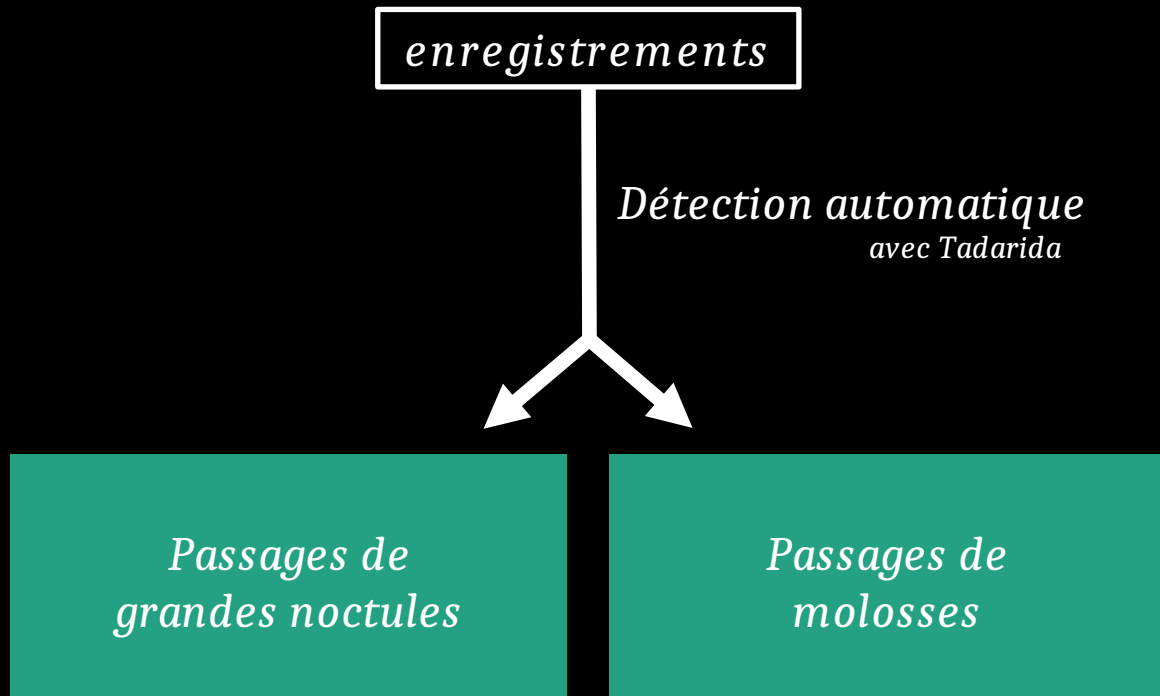


Sites suivis



Groupes fonctionnels enregistrés

Méthodes | Détection des passages de chiroptères



569 nuits étudiées

- 10 613 passages d'oiseaux non prédatés
- 1 252 passages de proies potentielles
- 7 959 passages de molosse
- 17 962 passages de grande noctule

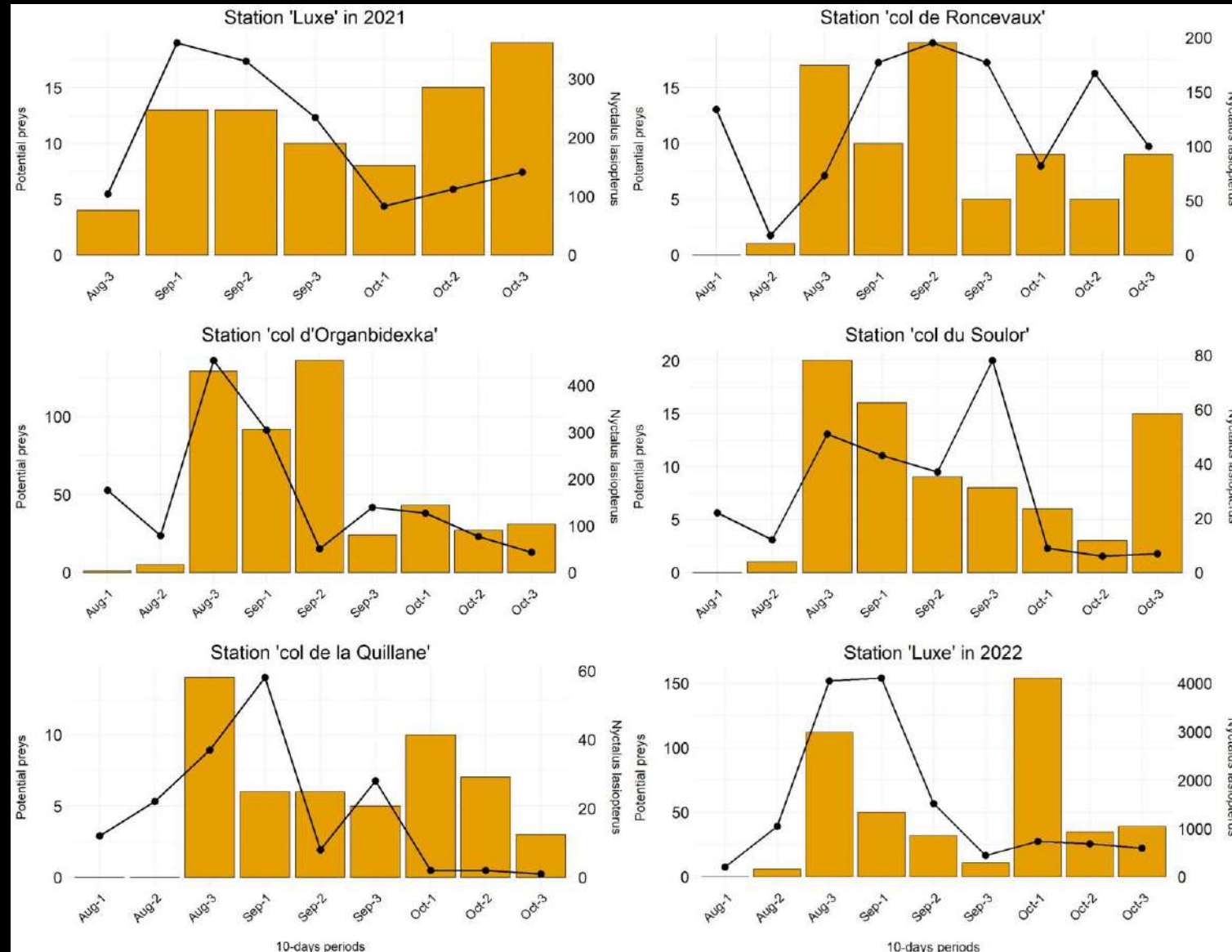
Méthodes | Modèle linéaire ‘GLMM’

| Variable réponse | Variable explicative | Pente | |
|--------------------|----------------------|-------------|-------------------------|
| grande noctule | proies potentielles | > 0 | <i>pentes attendues</i> |
| molosse de Cestoni | proies potentielles | ≈ 0 | |
| grande noctule | oiseaux non prédatés | ≈ 0 | |

Résultats | Modèle linéaire ‘GLMM’

| Variable réponse | Variable explicative | Pente | |
|--------------------|----------------------|---------------|-------------------------|
| grande noctule | proies potentielles | > 0 ✓ | <i>pentes calculées</i> |
| molosse de Cestoni | proies potentielles | ≈ 0 ✗ | |
| grande noctule | oiseaux non prédatés | ≈ 0 ✓ | |

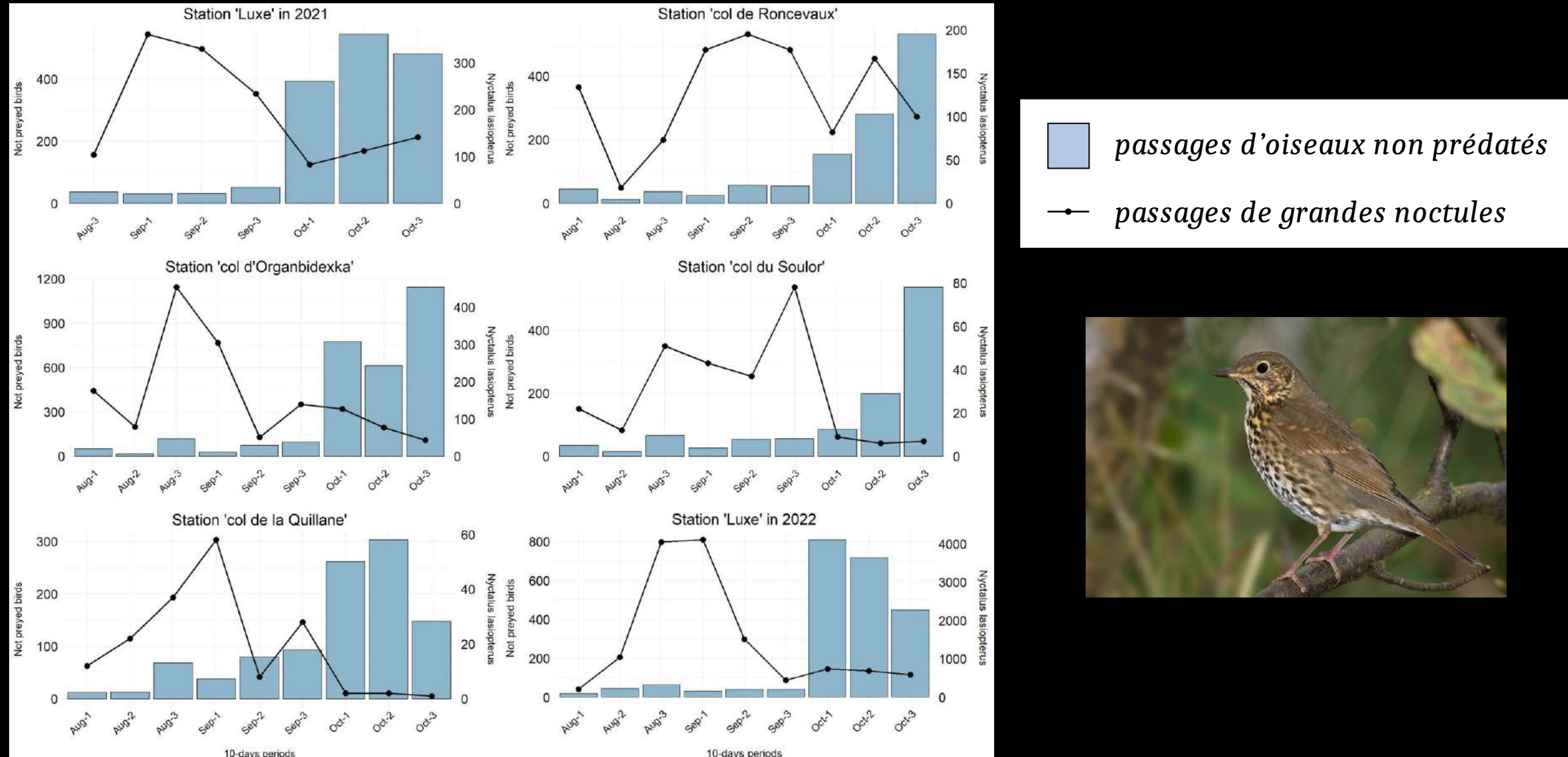
Résultats | Distribution saisonnière des passages



█ passages de proies potentielles
—●— passages de grandes noctules

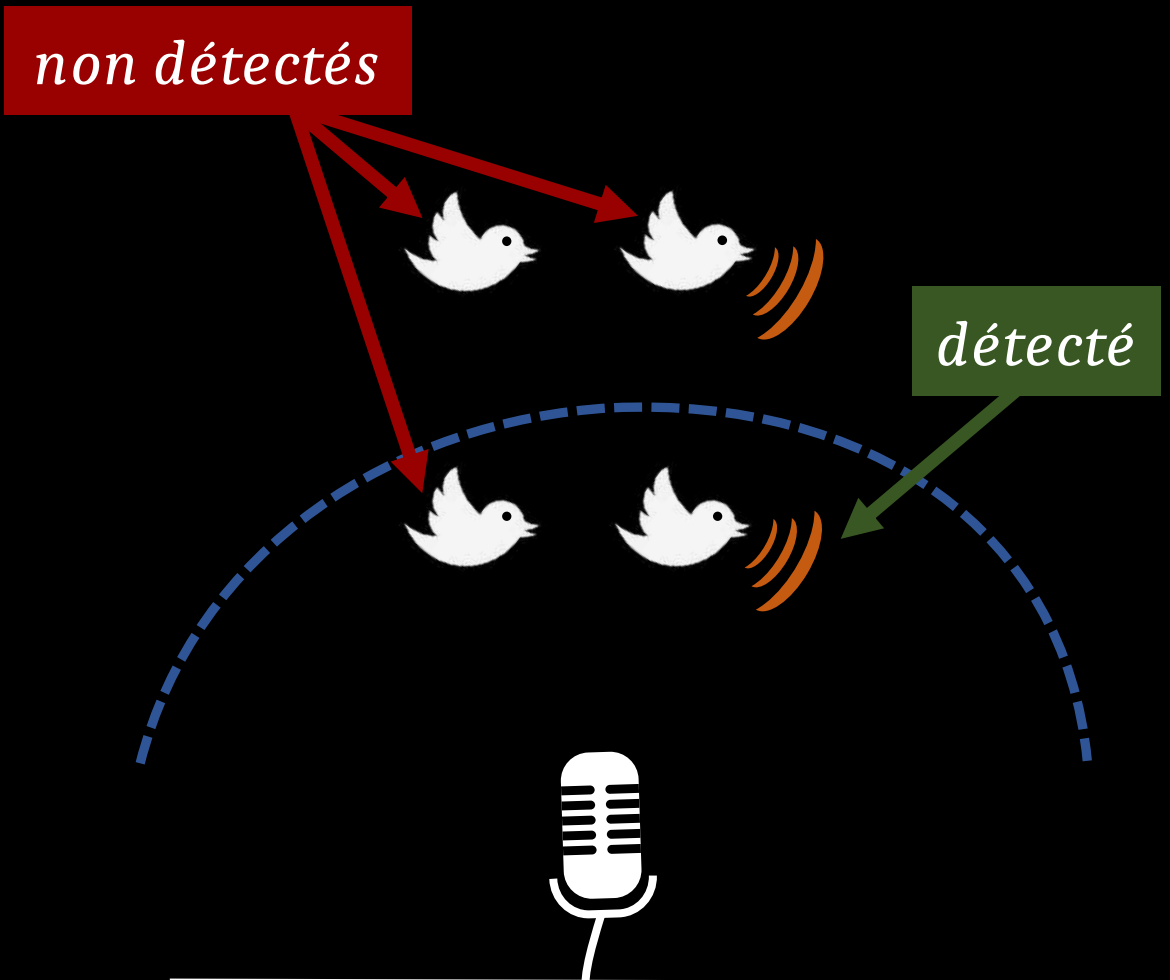


Résultats | Distribution saisonnière des passages



Discussion | Comment expliquer ces résultats ?

- l'approche acoustique n'est pas exhaustive :
 - portée restreinte des micros
 - les cris de vols des oiseaux sont rares
 - beaucoup de proies potentielles sont silencieuses
(Farnsworth, 2005; Ibáñez et al., 2016;
Wroza and Rochefort, 2021)



Exploration | Utilisation de données radar et météo



Le flux de passereaux explique-t-il mieux l'activité des grandes noctules que la météo ?



Exploration | Utilisation de données radar et météo



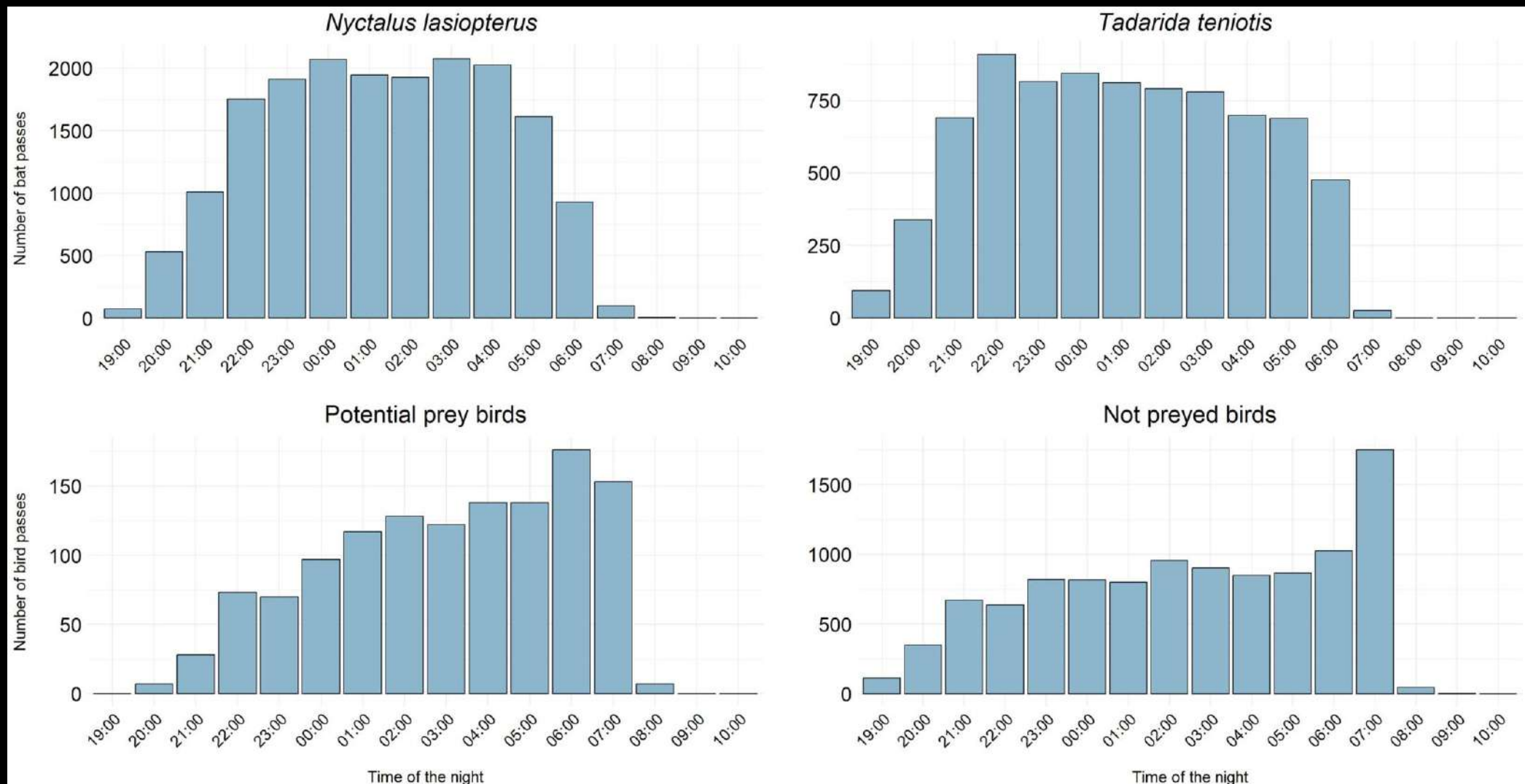
Le flux de passereaux explique-t-il mieux l'activité des grandes noctules que la météo ? Non.

*Explication proposée :
Les zones de chasse des grandes noctules dépassent la portée des micros.*

Références |

- ALCALDÉ, J., J. JUSTE, and M. PAUNOVIC. 2016. *Nyctalus lasiopterus: The IUCN Red List of Threatened Species 2016: e.T14918A22015318*.
- BAS, Y., D. BAS, and J.-F. JULIEN. 2017. *Tadarida: A Toolbox for Animal Detection on Acoustic Recordings*. *Journal of Open Research Software*. 5.
- FARNSWORTH, A. 2005. *Flight Calls and Their Value for Future Ornithological Studies and Conservation Research*. *The Auk*. 122: 733–746.
- HAWKES, W. L., K. DAVIES, S. WESTON, K. MOYES, J. W. CHAPMAN, and K. R. WOTTON. 2023. *Bat activity correlated with migratory insect bioflows in the Pyrenees*. *Royal Society Open Science*. 10: 230151.
- IBÁÑEZ, C., J. JUSTE, J. L. GARCÍA-MUDARRA, and P. T. AGIRRE-MENDI. 2001. *Bat predation on nocturnally migrating birds*. *Proceedings of the National Academy of Sciences*. 98: 9700–9702.
- IBÁÑEZ, C., A. G. POPA-LISSEANU, D. PASTOR-BEVIA, J. L. GARCÍA-MUDARRA, and J. JUSTE. 2016. *Concealed by darkness: interactions between predatory bats and nocturnally migrating songbirds illuminated by DNA sequencing*. *Molecular Ecology*. 25: 5254–5263.
- MINISTERIO DE MEDIO AMBIENTE. 2011. *Catálogo Español de Especies Amenazadas*.
- RONDININI, C., A. BATTISTONI, V. PERONACE, and C. TEOFILI. 2013. *Lista rossa dei vertebrati italiani*.
- SALVARINA, I., D. GRAVIER, and K.-O. ROTHHAUPT. 2018. *Seasonal bat activity related to insect emergence at three temperate lakes*. *Ecology and Evolution*. 8: 3738–3750.
- UICN FRANCE, MNHN, SFEP, and ONCFS. 2017. *La Liste rouge des espèces menacées en France – Chapitre Mammifères de France métropolitaine*. Paris, France.
- WROZA, S., and J. ROCHEFORT. 2021. *La migration nocturne par le son*. Delachaux et Niestlé, Paris.

Supplementary figures & tables



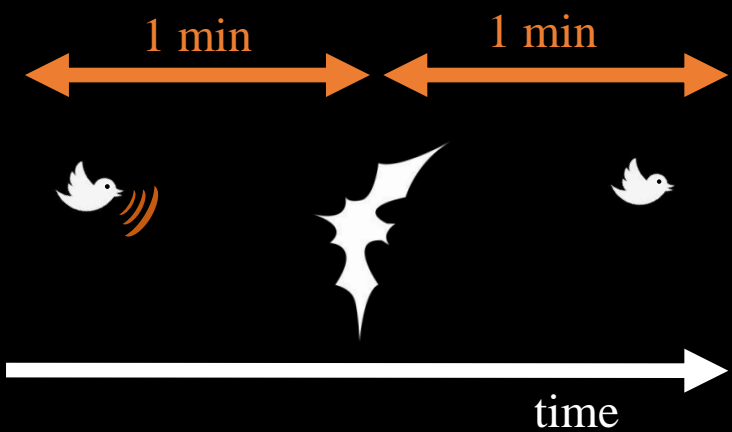
Hourly distribution of detected calls emitted by the four functional groups

Distribution of calls detected by the different recording stations

| Year | 2021 | | | | 2022 | |
|-------------------------------|---------------|--------------------|----------------------|-----------------|----------------------|---------------|
| Station | 'Luxe' | 'col de Roncevaux' | 'col d'Organbidexka' | 'col du Soulor' | 'col de la Quillane' | 'Luxe' |
| Altitude | 110 m | 1,000 m | 1,260 m | 1,455 m | 1,720 m | 110 m |
| Recording period | 20/08 – 01/11 | 22/07 – 01/11 | 23/07 – 01/11 | 24/07 – 01/11 | 28/07 – 02/11 | 27/07 - 07/11 |
| Number of nights | 73 | 102 | 100 | 99 | 97 | 104 |
| Call number | | | | | | |
| Potential prey birds (< 25 g) | 82 | 76 | 499 | 77 | 51 | 467 |
| Not preyed birds (> 25 g) | 1,588 | 1,249 | 3,131 | 1,077 | 1,029 | 2,539 |
| <i>Nyctalus lasioperus</i> | 1,366 | 1,126 | 1,459 | 281 | 171 | 13,559 |
| <i>Tadarida teniotis</i> | 0 | 311 | 1,582 | 2,956 | 3,110 | 0 |
| Total | 3,036 | 2,762 | 6,671 | 4,391 | 4,361 | 16,565 |

Avoidance hypothesis | Methods

Co-occurrence probability



Expected probability of detecting
a potential prey

| 1-minute window | |
|----------------------------------|---|
| mean value → Among every windows | ≈ |
| variation expected | ≈ |
| Before <i>N. lasiopterus</i> | < |
| After <i>N. lasiopterus</i> | ≈ |
| no variation expected | ≈ |
| Before <i>T. teniotis</i> | ≈ |
| After <i>T. teniotis</i> | ≈ |

Avoidance hypothesis | Results and discussion

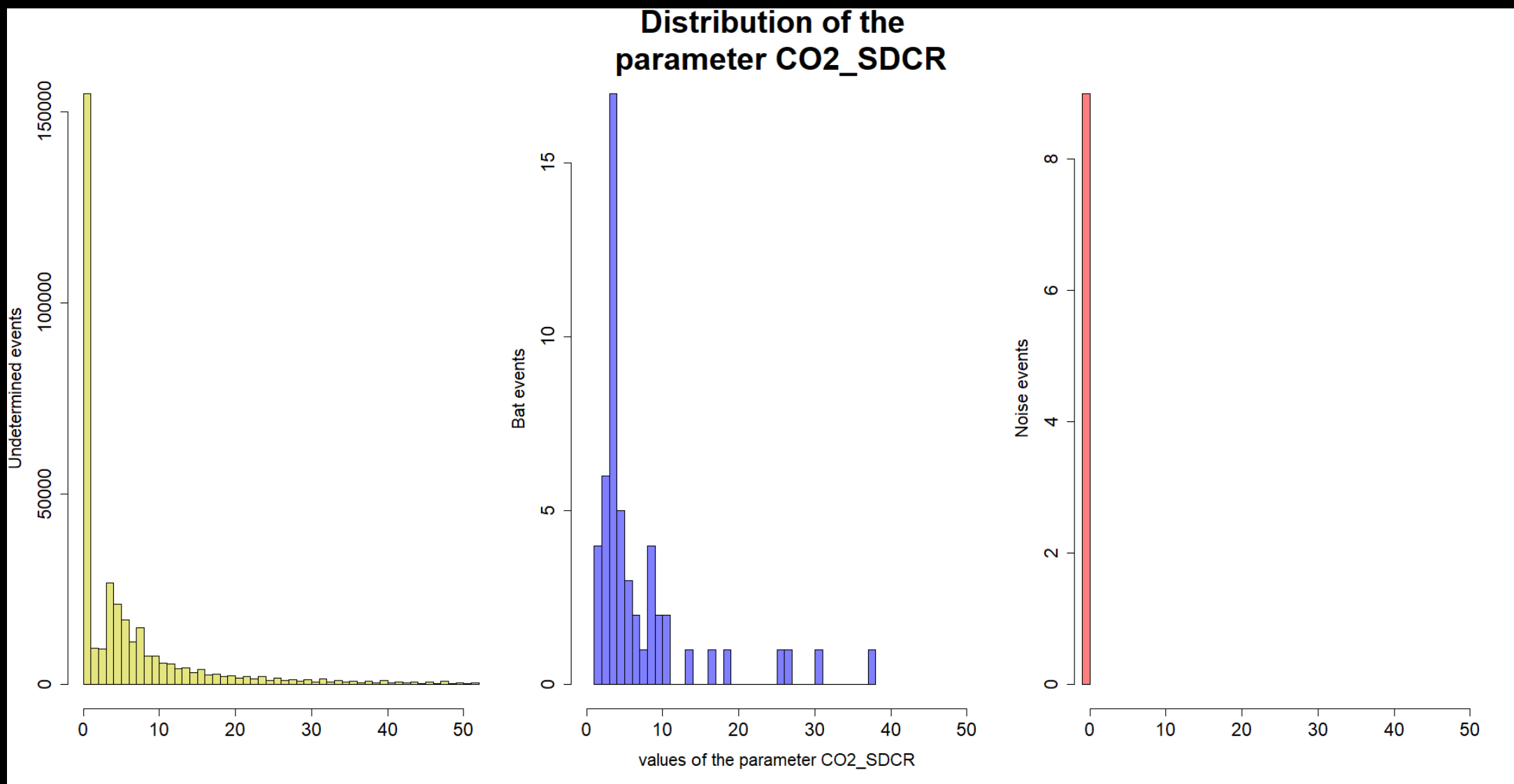
Probability of detecting a potential prey

1-minute window 5-minutes window

| | | |
|------------------------------|-------|-------|
| Among every windows | 0.004 | 0.021 |
| Before <i>N. lasiopterus</i> | 0.017 | 0.083 |
| After <i>N. lasiopterus</i> | 0.018 | 0.087 |
| Before <i>T. teniotis</i> | 0.021 | 0.084 |
| After <i>T. teniotis</i> | 0.017 | 0.079 |

← no avoidance
into the
detection volume
of microphones

Supplementary figures & tables



Example of parameter allowing to discriminate bat calls and noises during manual selection

Manual selection of parameters

| parameter | selection | parameter signification |
|-----------------------|---------------------------|-------------------------------------------------------------------------------------------|
| Dur | $> 10 \text{ \& } < 40$ | DSE duration |
| Fmin | $> 9 \text{ \& } < 16$ | Minimum frequency |
| NoiseUp | $> -10 \text{ \& } < -5$ | Average energy among the elements neighbouring the DSE on the bottom on a 3-element width |
| CM_5dB _{DUR} | > 1 | Time difference between 5dB _{BF} point and 5dB _{AF} point |
| CO2_SDCR | ≥ 1 | SDC / Dur |
| CO2_FPkD | $\geq -1 \text{ \& } < 4$ | Difference of frequency of maximum amplitude with previous DSE |
| CM_SDCLROP | ≤ 1 | SDC _{LOP} / Dur |
| CS_SDC _{LOP} | ≥ 3 | Cumulated changes in frequency slope of the “main slope” of the line |
| CN_SDCR | ≤ 1 | SDC / Dur |
| Dbl8 | ≥ 5 | Amplitude difference between the DSE and low-frequency noise (=everything below 8kHz) |

CM is the line of elements which have the maximum amplitude on each time window.

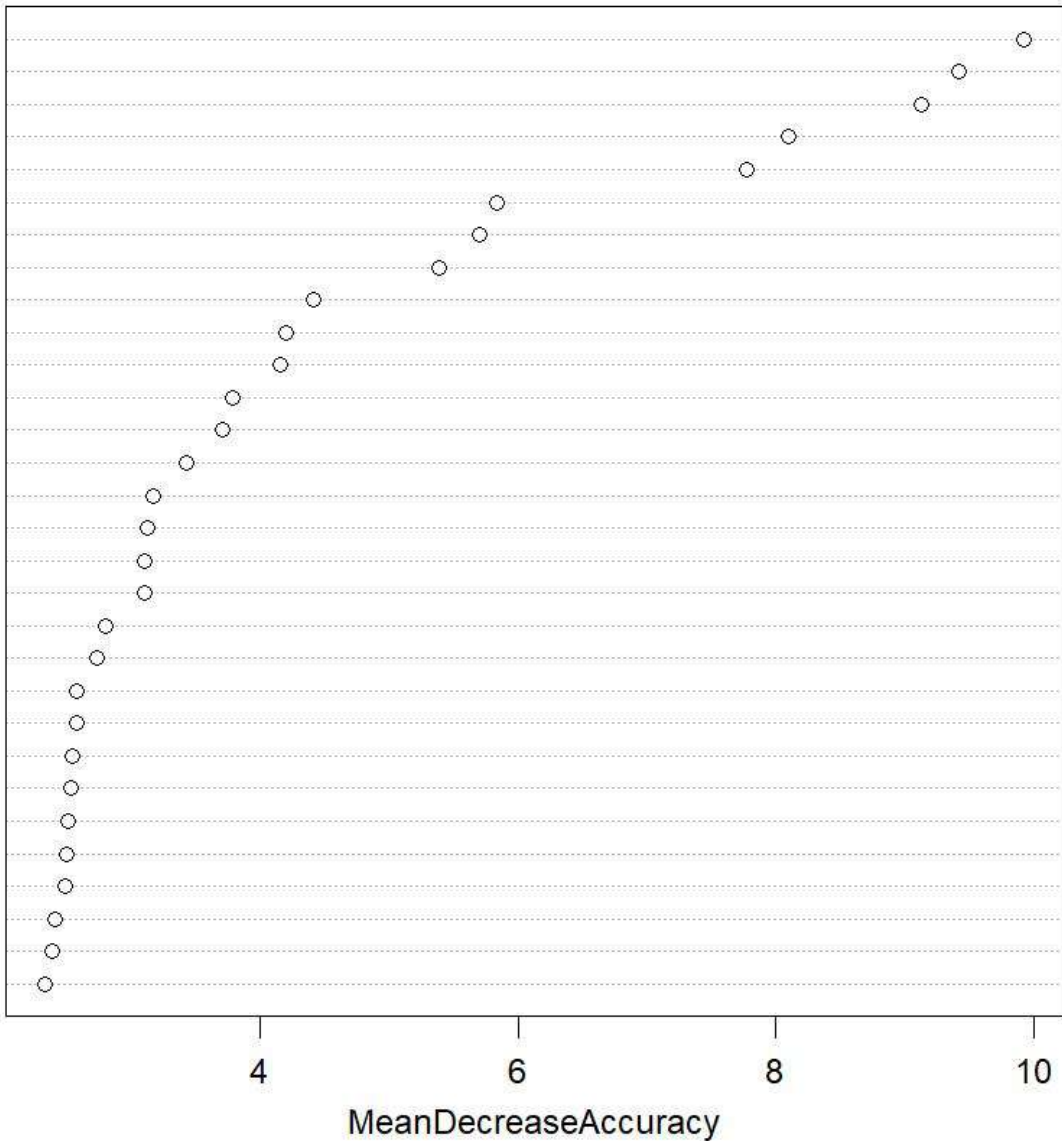
CN is the upper frequency edge of the DSE.

CS is the lower frequency edge of the DSE.

CO2 is formed by the first elements forming a local amplitude maximum on each frequency band (matrix line).

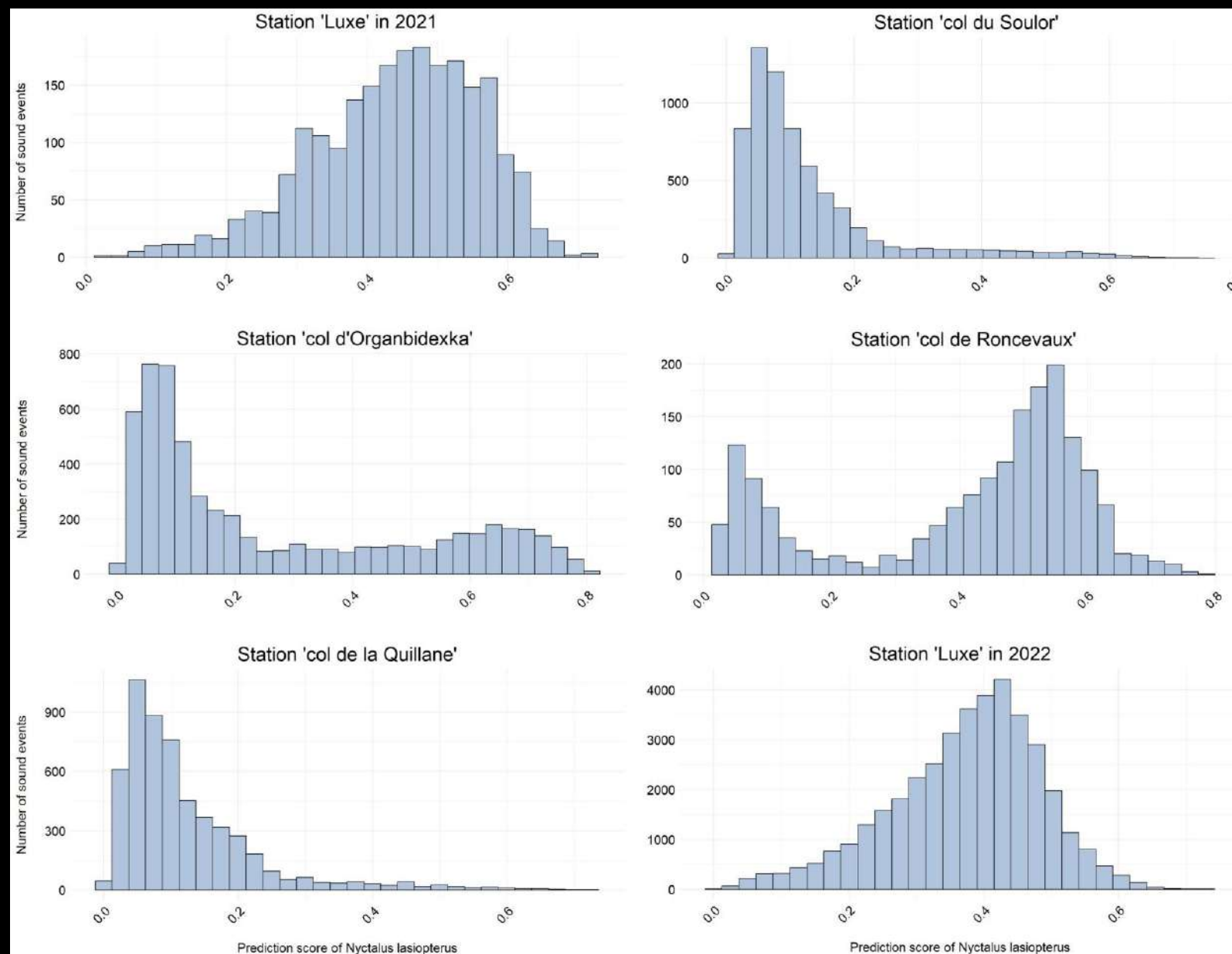
Supplementary figures & tables

Fmin
CM_FIF
CS_FIF
CN_FIF
Ramp_3_2
Int75
VarSmlnt
Rlnt1
RlntDev1
LgIntDev
SmlntDev
CS_SDCLOP
NextMP2
VarLgInt
CO2_ISlope
Int25
CM_5dBDur
BW
NextMP1
PrevMP2
HetCTD
VarInt
CO2_5dBDur
CM_SBMP
HeiRT
CO_FPSI
CM_EnSI
HetPicsTABD
CM_ELBSB
PrevSt

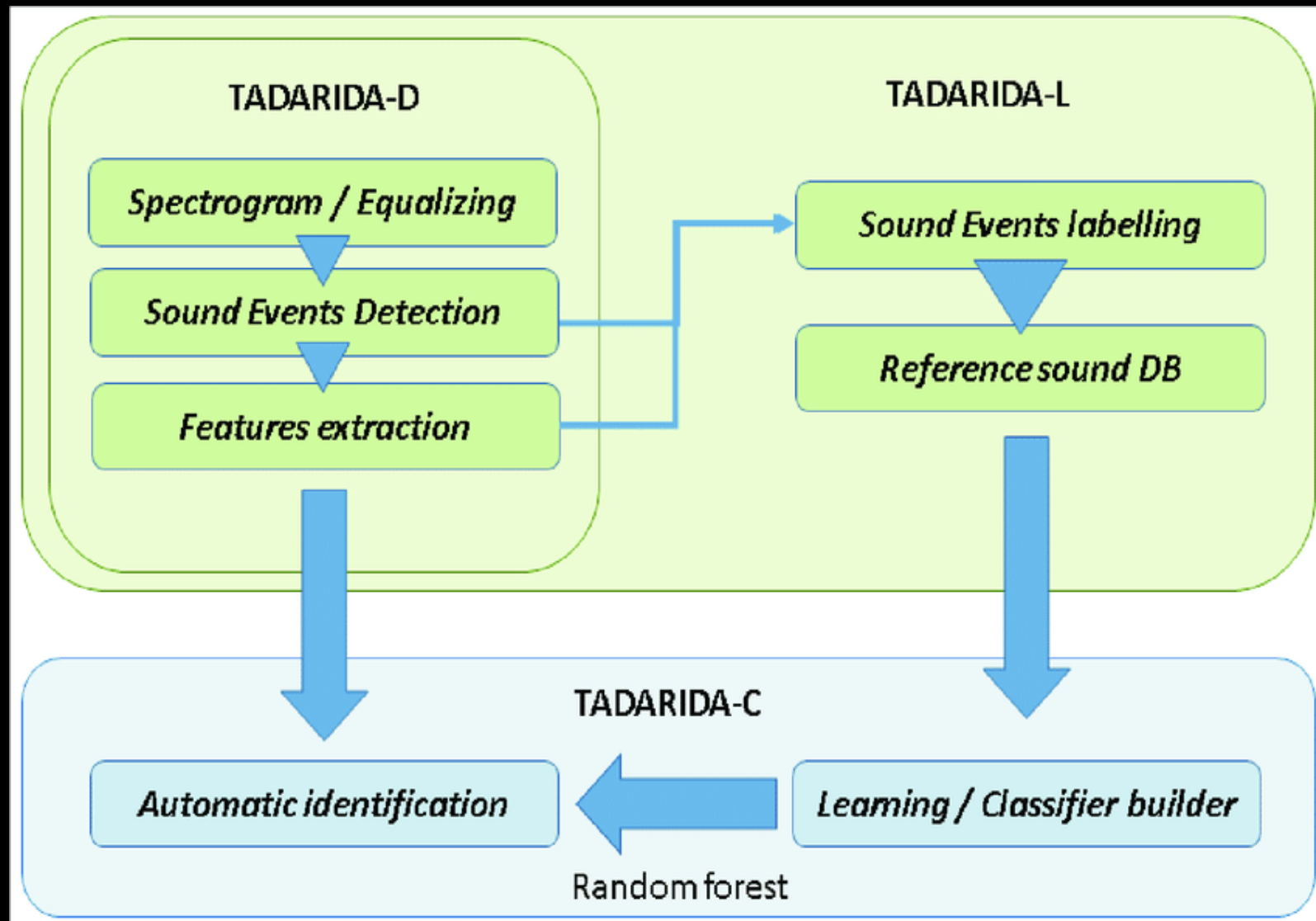


Mean decrease accuracy of parameters determined with random forest computation

Supplementary figures & tables



Distribution of prediction scores obtained by all detected sound events for each recording station thanks to the random forest classification method.



Simplified diagram showing how the software Tadarida works.
Diagram from Bas *et al.* (2017).